

УДК 548.736.6

КРИСТАЛЛОГРАФИЯ

А. Н. ЧЕРНОВ, Б. А. МАКСИМОВ, В. В. ИЛЮХИН, академик Н. В. БЕЛОВ

**КРИСТАЛЛИЧЕСКАЯ СТРУКТУРА МОНОКЛИННОЙ  
МОДИФИКАЦИИ K<sub>2</sub>Zr<sub>2</sub>-ДИОРТОСИЛИКАТА = K<sub>2</sub>ZrSi<sub>2</sub>O<sub>7</sub>**

Исследованные кристаллы моноклинной модификации K<sub>2</sub>ZrSi<sub>2</sub>O<sub>7</sub> (¹) получены при изучении системы K<sub>2</sub>O — ZrO<sub>2</sub> — SiO<sub>2</sub>. В. Г. Чухланцевым и Ю. М. Полежаевым (²) (Уральский политехнический институт им. С. М. Кирова).

В ячейке с периодами:  $a = 9,54$ ,  $b = 14,26$  (четкий псевдопериод  $b' = b/2$ ),  $c = 5,60 \text{ \AA}$   $\gamma = 116^\circ 31'$ ;  $Z = 4$  единицы K<sub>2</sub>ZrSi<sub>2</sub>O<sub>7</sub>. Федоровская группа  $C_{2h}^5 = P2_1/b$  определяется по погасаниям. В массиве экспериментальных интенсивностей  $\sim 1200$  ненулевых отражений  $hk0 - hk5$  и  $h0l - h1l$  (гониометр Вейсенберга, Мо-излучение,  $\max \sin \theta / \lambda = 0,95 \text{ \AA}^{-1}$ ,

интенсивности оценены по  $\sqrt{2}$ -шкале марок почернения). Анализ трехмерной патерсоновской функции  $P(uvw)$  по (³) выявил тяжелые атомы Zr и средние Si и K, координаты которых были приняты за отправные для синтезов электронной плотности  $\rho(xyz)$ . Для атомов Si и K на первом этапе допускалась одинаковая рассеивающая способность ( $\approx f_{Si}$ ). Легкие O локализованы из серии синтезов электронной плотности, и на последней стадии разделены Si и K.

Все средние атомы паряду с более тяжелым Zr незначительно отстоят от плоскости скольжения  $b$  (на уровнях  $\sim z/4$  и  $3z/4$ ), и возникает двузначность в расположении между плоскостями  $b$  четырех атомов O из семи (содержащихся в формуле). Различить ложные и истинные их положения помогли разностные синтезы  $\Delta\rho(xyz)$ , а также фазовые взвешенные проекции  $\sigma_{sin}$  и  $\sigma_{cos}$  по (⁴). Коэффициент расходимости на этой стадии был 0,19. Уточнение МНК позиционных параметров снизило  $R$  до 0,15 и введение изотропных индивидуальных поправок еще до 0,14 ( $\max \sin \theta / \lambda = 0,95 \text{ \AA}^{-1}$ ).

Заключительные значения координат базисных атомов сведены в табл. 1; рассчитанные по ним межатомные расстояния в табл. 2.

У атома Zr (как и в большинстве Zr-силикатов) почти правильное окружение по октаэдру: расстояния Zr — O = 2,06—2,26 Å, O—O в пределах 2,83—3,14 Å. Каждый из двух независимых Si окружен 4 атомами O по тетраэдру: Si<sub>1</sub> — O = 1,53—1,70 Å при O — O = 2,62—2,72 Å и Si<sub>2</sub> — O = 1,52—1,70 при O — O = 2,54—2,85 Å, Si<sub>1</sub>- и Si<sub>2</sub>-тетраэдры объединены в диортогруппы Si<sub>2</sub>O<sub>7</sub> таким образом, что треугольные основания Si-тетраэдров, противостоящие мостиковой вершине, взаимно повернуты на 60°: тем самым описанным многогранником вокруг диортогруппы становится вытянутый октаэдр (подобно окружению Si<sub>2</sub>O<sub>7</sub> в Sc-тортвейтите).

Таблица 1  
K<sub>2</sub>ZrSi<sub>2</sub>O<sub>7</sub>. Координаты базисных атомов

| Атом            | $\frac{x}{a}$ | $\frac{y}{b}$ | $\frac{z}{c}$ | Атом           | $\frac{x}{a}$ | $\frac{y}{b}$ | $\frac{z}{c}$ |
|-----------------|---------------|---------------|---------------|----------------|---------------|---------------|---------------|
| Zr              | 0,237         | 0,232         | 0,253         | O <sub>2</sub> | 0,309         | 0,492         | 0,795         |
| Si <sub>1</sub> | 0,172         | 0,369         | 0,744         | O <sub>3</sub> | 0,476         | 0,316         | 0,232         |
| Si <sub>2</sub> | 0,336         | 0,114         | 0,741         | O <sub>4</sub> | 0,217         | 0,342         | 0,464         |
| K <sub>1</sub>  | 0,035         | 0,426         | 0,264         | O <sub>5</sub> | 0,185         | 0,296         | 0,935         |
| K <sub>2</sub>  | 0,482         | 0,592         | 0,260         | O <sub>6</sub> | 0,245         | 0,111         | 0,007         |
| O <sub>1</sub>  | 0,004         | 0,629         | 0,264         | O <sub>7</sub> | 0,265         | 0,148         | 0,540         |

Крупные К располагаются в достаточно рыхлых восьмивершинниках. У катиона К<sub>1</sub> из восьми расстояний К—О пять (2,76—2,86 Å) почти равны сумме ионных радиусов K<sup>+</sup> + O<sup>2-</sup> ( $\approx$  2,70 Å), а три остальных можно считать во второй координационной сфере (3,03—3,08 Å). Подобная тенденция крупного катиона к пятерной координации отмечалась для К (и его

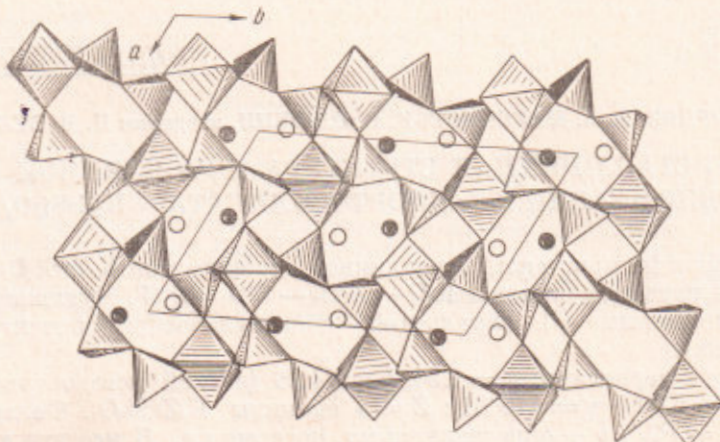


Рис. 1. K<sub>2</sub>ZrSi<sub>2</sub>O<sub>7</sub>. Проекция *xy*, параллельная плоскости скольжения *b* и нормальная к винтовым осям 2<sub>1</sub>. Вдоль [120] тянутся цепочки из диортогрупп, связанных Zr-октаэдрами

крупных аналогов по I группе Rb и Cs) в структурах сульфатов, хроматов и фторобериллатов (<sup>5</sup>). В более рыхлом K<sub>2</sub>-полиэдре два расстояния K<sub>2</sub>—O (2,72 и 2,76 Å) существенно меньше шести остальных, не выходящих из узких пределов 2,99—3,08 Å (см. также <sup>(5)</sup>).

Таблица 2

K<sub>2</sub>ZrSi<sub>2</sub>O<sub>7</sub>. Межатомные расстояния (в Å)

| Zr-октаэдр                        |        |                                   |        |                                   |        |
|-----------------------------------|--------|-----------------------------------|--------|-----------------------------------|--------|
| Zr—O <sub>1*</sub>                | = 2,11 | O <sub>1</sub> *—O <sub>4</sub> * | = 3,12 | O <sub>5</sub> —O <sub>6</sub>    | = 3,07 |
| — O <sub>3</sub>                  | = 2,06 | — O <sub>5</sub> **               | = 2,83 | — O <sub>7</sub>                  | = 2,90 |
| — O <sub>4</sub>                  | = 2,06 | — O <sub>6</sub>                  | = 2,84 | O <sub>4</sub> —O <sub>5</sub> ** | = 3,05 |
| — O <sub>5</sub> **               | = 2,16 | — O <sub>7</sub>                  | = 2,98 | — O <sub>7</sub>                  | = 3,00 |
| — O <sub>6</sub>                  | = 2,26 | O <sub>3</sub> —O <sub>4</sub>    | = 2,95 | O <sub>5</sub> **—O <sub>6</sub>  | = 2,98 |
| — O <sub>7</sub>                  | = 2,07 | O <sub>3</sub> —O <sub>5</sub> ** | = 3,14 | O <sub>5</sub> —O <sub>7</sub>    | = 3,03 |
| Si <sub>1</sub> -тетраэдр         |        |                                   |        |                                   |        |
| Si <sub>1</sub> —O <sub>1*</sub>  | = 1,61 | O <sub>1</sub> *—O <sub>2</sub>   | = 2,68 | O <sub>2</sub> —O <sub>4</sub>    | = 2,66 |
| — O <sub>2</sub>                  | = 1,69 | — O <sub>4</sub>                  | = 2,72 | — O <sub>5</sub>                  | = 2,63 |
| — O <sub>3</sub>                  | = 1,70 | — O <sub>5</sub>                  | = 2,62 | O <sub>4</sub> —O <sub>5</sub>    | = 2,68 |
| — O <sub>5</sub>                  | = 1,53 |                                   |        |                                   |        |
| Si <sub>2</sub> -тетраэдр         |        |                                   |        |                                   |        |
| Si <sub>2</sub> —O <sub>6</sub> * | = 1,66 | O <sub>2</sub> *—O <sub>3</sub>   | = 2,61 | O <sub>3</sub> —O <sub>6</sub> *  | = 2,85 |
| — O <sub>5</sub>                  | = 1,64 | O <sub>6</sub> *—O <sub>7</sub>   | = 2,63 | — O <sub>7</sub>                  | = 2,54 |
| — O <sub>6</sub> *                | = 1,70 | O <sub>7</sub>                    | = 2,63 | O <sub>6</sub> *—O <sub>7</sub>   | = 2,66 |
| — O <sub>7</sub>                  | = 1,52 |                                   |        |                                   |        |
| K <sub>1</sub> -полиэдр           |        |                                   |        |                                   |        |
| K <sub>1</sub> —O <sub>1</sub>    | = 3,07 | K <sub>2</sub> —O <sub>2</sub>    | = 3,08 |                                   |        |
| — O <sub>4</sub>                  | = 2,76 | — O <sub>2</sub> *                | = 2,76 |                                   |        |
| — O <sub>1</sub> *                | = 2,76 | — O <sub>3</sub> *                | = 3,08 |                                   |        |
| — O <sub>1</sub> *                | = 3,03 | — O <sub>3</sub> *                | = 2,99 |                                   |        |
| — O <sub>5</sub> *                | = 3,08 | — O <sub>4</sub> *                | = 3,00 |                                   |        |
| — O <sub>6</sub> *                | = 2,82 | — O <sub>5</sub> *                | = 3,08 |                                   |        |
| — O <sub>6</sub> *                | = 2,83 | — O <sub>6</sub> *                | = 2,72 |                                   |        |
| — O <sub>7</sub> *                | = 2,88 | — O <sub>7</sub> *                | = 3,03 |                                   |        |
| K <sub>2</sub> -полиэдр           |        |                                   |        |                                   |        |

\* Атомы, полученные из базисных операциями симметрии.  
\*\* Трансляционно идентичные атомы.

Структура  $K_2ZrSi_2O_7$  представляется особо четкой в проекции вдоль короткой оси  $c$  (рис. 1), где она полностью расчленяется на четыре (на ячейку) параллельные  $[1\bar{2}0]$  цепочки со звеном вдоль оси цепочки, состоящим из  $ZrO_6$ -октаэдра и  $Si_2O_7$ -диортогруппы. Эти цепочки располагаются на высотах  $c/4$  и  $3c/4$  весьма близко к находящимся на тех же уровнях

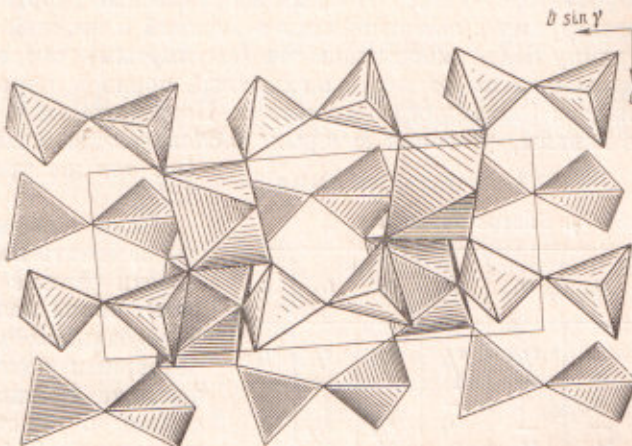


Рис. 2.  $K_2ZrSi_2O_7$ . Проекция  $yz$  в полиздрах. Выделены параллельные  $(100)$  два слоя, в которых шеренги из диортогрупп соединены  $Zr$ -октаэдрами в ажурные стенки; светлые — на переднем плане, более темные на заднем

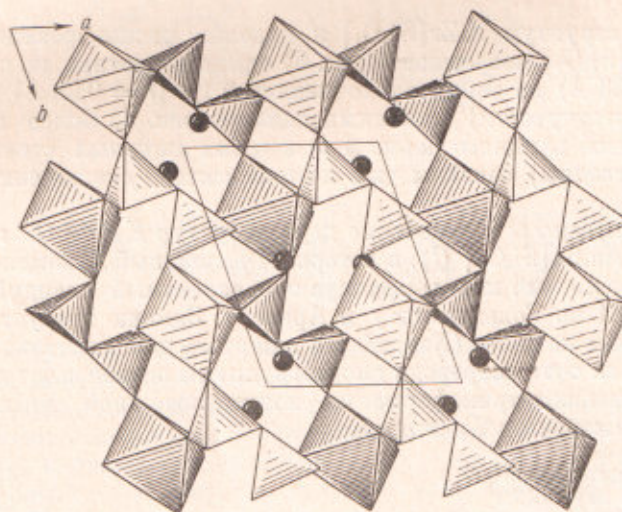


Рис. 3.  $Na_2ZrSi_2O_7$ . Проекция  $xy$  — аналогичная проекции на рис. 1, но замена  $K$  на  $Na$  искажает мотив и сокращает период  $b$  вдвое с исчезновением плоскости скольжения  $b$

плоскостям скольжения  $b$ , которыми цепочки и связаны: 1-я и 3-я одной «собственной» плоскостью скольжения и также «собственной» 2-я и 4-я. Между собой цепочки из разных плоскостей связаны и центром симметрии и винтовыми осями  $2_1$ .  $Zr$ -октаэдры своими не занятими в «собственной» шеренге вершинами участвуют одновременно в двух трансляционно идентичных (по оси  $z$ ) шеренгах, расположенных ниже (выше) от исходной на  $c/2$  (рис. 2).

В этом аспекте структура  $K_2ZrSi_2O_7$  представляется укладкой из цепочек-балок, которые все параллельны  $[1\bar{2}0]$ . Торцы их в плоскости  $(100)$

выступают в шахматном порядке, т. е. балки какого-либо уровня (вдоль  $c$ ) связаны с выше и ниже лежащими общими ребрами.

С архитектурной точки зрения более удобно увидеть в этой структуре параллельные (100) ажурные стенки (две на ячейку на уровнях  $x \approx a/4$  и  $3a/4$  (рис. 1 и 2). В этих стенках две лежащие в каждой плоскости скольжения  $b$  (на уровнях  $c/4$  и  $3c/4$ ) и ими же связанные диортогруппы скрепляются Zr-октаэдрами с аналогичными в верхней и нижней ячейке. Заменив диортогруппу  $\text{Si}_2\text{O}_7$  вмещающим ее (вытянутым) октаэдром, найдем, что и в этих стенках имеет место шахматный порядок чередования заселенных кубоидов (октаэдров) с пустотами. Последние вдоль [101] и [101] соединены в каналы, у степок которых располагаются катионы  $K_1$  и  $K_2$

(на тех же уровнях  $\approx c/4$  и  $3c/4$ ).

$\text{K}_2\text{ZrSi}_2\text{O}_7$ . Баланс валентностей

| Атомы                     | $O_1$      | $O_2$     | $O_3$       | $O_4$       | $O_5$       | $O_6$      | $O_7$       |
|---------------------------|------------|-----------|-------------|-------------|-------------|------------|-------------|
| Zr                        | $2/3$      | —         | $2/3$       | $2/3$       | $2/3$       | $2/3$      | $2/3$       |
| $\text{Si}_1$             | 1          | 1         | —           | 1           | 1           | —          | —           |
| $\text{Si}_2$             | —          | 1         | 1           | —           | —           | 1          | 1           |
| $K_1$                     | $3/8$      | —         | —           | $1/8$       | $1/8$       | $2/8$      | $1/8$       |
| $K_2$                     | —          | $2/8$     | $2/8$       | $1/8$       | $1/8$       | $1/8$      | $1/8$       |
| $\Sigma_{n_i}^{\omega_i}$ | $2^{1/24}$ | $2^{1/4}$ | $4^{11/12}$ | $4^{11/22}$ | $4^{11/12}$ | $2^{1/24}$ | $4^{11/12}$ |

ставляющимся двум катионам  $K$ , и подчеркнуто говорить о К-цирконосиликате.

Сравнение структур  $\text{K}_2\text{Zr}[\text{Si}_2\text{O}_7]$  и недавно расшифрованной<sup>(5)</sup> природного  $\text{Na}_2\text{Zr}[\text{Si}_2\text{O}_7]$  показывает (рис. 3) единство мотива, но замена крупного K ( $r = 1,33 \text{ \AA}$ ) на значительно меньший Na ( $r = 0,98 \text{ \AA}$ ) приводит к сужению (и вытянутости) сплошных каналов рис. 1. Более существенно сокращение вдвое длинного периода  $b$ : в своих ажурных стенках группы  $\text{Si}_2\text{O}_7$  (и Zr-октаэдры) связаны уже не плоскостью скольжения, а просто трансляцией.

Весьма интересно сопоставление двух структур  $\text{K}_2\text{ZrSi}_2\text{O}_7$  и  $\text{Na}_2\text{ZrSi}_2\text{O}_7$  со структурой  $\text{Na}_2\text{Sc}[\text{Si}_2\text{O}_7]$ <sup>(7)</sup>, в которой 4-валентный Zr заменен на имеющий почти идентичный ионный радиус трехвалентный скандий (Zr — 0,81 (0,79), Sc — 0,81 по Гольдшмидту и Аренсу). Замена требует введения в формулу третьего катиона (Na). Место для этого дополнительного катиона освобождается за счет «перевода диортогрупп» из октаэдра в тригональную призму, что вызывает трансформацию полутораэтажной сетки<sup>(8)</sup>  $\text{ZrO}_6 + \text{Si}_2\text{O}_7$  в одноэтажную в Sc-силикате.

Институт кристаллографии  
Академии наук СССР  
Москва

Поступило  
18 III 1970

#### ЦИТИРОВАННАЯ ЛИТЕРАТУРА

- 1 А. Н. Чернов, В. Г. Чухланцев и др., Неорг. материалы, 7, № 1 (1971).
- 2 Ю. М. Полежаев, В. Г. Чухланцев, Неорг. материалы, 5, 1828 (1969).
- 3 С. В. Борисов, Кристаллография, 9, 603 (1964). 4 И. М. Руманова, Там же, 3, 664 (1958). 5 Н. М. Мустафьев, В. В. Илюхин, Н. В. Белов, Там же, 10, 805 (1965). 6 А. А. Воронков, Н. Г. Шумяцкая, Ю. А. Пятенко, ЖСХ, 11, № 3 (1970). 7 С. М. Скшат, В. И. Симонов, Н. В. Белов, ДАН, 184, 337 (1969).
- 8 В. В. Илюхин, Н. В. Белов, Кристаллография, 6, 847 (1961).